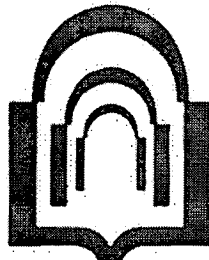


1851A - 1.R.V.D

وزارت علوم، تحقیقات و فناوری



دانشگاه علوم پایه دامغان

دانشکده شیمی

پایان نامه کارشناسی ارشد شیمی (گرایش معدنی)

مطالعه نانوپروسکایت‌های $\text{LaCoCe}_x\text{O}_{>3}$ ($x = 0/0, 0/1, 0/2, 0/3, 0/4, 0/5$)
به عنوان کاتالیست اکسایش کامل منواکسید کربن و هیدروکربن‌ها

توسط:

فهیمه کریمی

استاد راهنما:

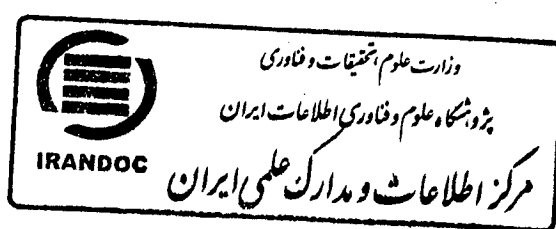
دکتر عظیم ملکزاده

اساتید مشاور:

دکتر یدالله مرتضوی

دکتر عباسعلی خدادادی

شهریورماه ۱۳۸۹



۱۵۳۵۱۸

۱۳۸۹/۰۷/۱۶

به نام خدا

مطالعه نانوپروسکایت‌های $\text{LaCoCe}_x\text{O}_{>3}$ ($x = 0.0, 0.1, 0.2, 0.3, 0.4, 0.5$) به عنوان کاتالیست
اکسایش کامل منواکسید کربن و هیدروکربن‌ها

به وسیله‌ی:
فهیمه کریمی

پایان نامه
ارائه شده به تحصیلات تکمیلی دانشگاه به عنوان بخشی
از فعالیت‌های لازم برای اخذ درجه کارشناسی ارشد

در رشته‌ی:
شیمی (گرایش معدنی)

از دانشگاه دامغان

ارزیابی و تایید شده توسط کمیته داوران با درجه: عالی

دکتر عظیم ملک‌زاده، استادیار دانشکده شیمی دامغان (استاد راهنمای ارشاد)
دکتر یدالله مرتضوی، استاد دانشکده مهندسی شیمی دانشگاه تهران (استاد مشاور)
دکتر عباسعلی خدادادی، استاد داشکده مهندسی شیمی دانشگاه تهران (استاد مشاور)
دکتر سید جواد معافی، استادیار دانشکده شیمی دانشگاه دامغان (استاد داور)
دکتر غلامحسین گریوانی، استادیار دانشکده شیمی دانشگاه دامغان (استاد داور)
دکتر سید ناصر هاشمی، استادیار دانشکده علوم زمین دانشگاه دامغان (نماینده تحصیلات تکمیلی)

۱۳۸۹/۱۲/۱۶

شهریورماه ۱۳۸۹

منت خدای راعزو جل، که طاصلش موجب قربت است و به شکر اندرش مزید نعمت.

هر نفسی که فرمی رود مهد حیات است و پون بر می آید مفرح ذات.

پس در هر نفسی دونعمت موجود است و بر هر نعمتی شکری واجب.

سعدی

خدا

روزی از روزه

شب از شب

خواهم افتاد و خواهم مرد

اما می خواهم هر چه بیشتر بروم

تاهره دور تر پنجم،

تاهره دور تر پنجم،

هر چه دور تو دور تر بیزم،

نمی خواهم حتی یک گام یا یک سخط، پیش از آنکه می توانستم بروم و با نام افتاده باشم و جان داده باشم.

ذکر علی شریعتی

تهدیم به مهربانیم

مادرم

تحتین سازنده‌ی ابعاد و حجم،

به مشوق همگیم

پدرم

او که راز نمایشیدن را بکامم ریخت

و به دور از عذر نرم.

با شکر فراوان از استاد میرباقم جناب آقای دکتر ملک زاده

او که فن انسان بودن را به من آموخت.

به نین از استاد بزرگوارم جناب آقای دکتر یدالله مرتفعی و عباسعلی خدادادی

هر آن بی ادعا در مسیری انتہای علم.

مشکرویره از هر اهل همیشگی ام در این میر

دستان عزیزم

که طهم استواری دل را بی درنگ به من چنانند:

ساد افرادیان قدم، نزکس قدر کاز، سارا توکلی، مریم آحسینی، نایید بختی، خدیج یوسفی، ساز حاجی پور، باجرحی نژاد،
النائز پور کاظمی، بهار محابی، مونا اشرف، مهدیه نفر، الامام چاقری، مظفر کلاکر، مریم ثالث پیش، فاطمه امینی، سارا متینی،
زینب قلی پور، مصوصه بزرگر، اکرم آخوندی، مریم حسنی، مری طبایان، زهراء جدی، زهره علیپور، پرواز اسماعیل نژاد،
پیام روایی، احسان فروزنده صدر، علی اکبر فرشادی، محسن صداقت دوست، کمال کر، پوریا و اسد، بهام زرینی، کامیار
ریاضتی، علی مرتضی، سروش عبدی فردی، صالح آفغانی و حسام ضایی.

چکیده

مطالعه نانوپروسکایت‌های $\text{LaCoCe}_x\text{O}_{3+δ}$ (x = 0/0, 0/1, 0/2, 0/3, 0/4, 0/5) به عنوان کاتالیست اکسایش کامل منواکسید کربن و هیدروکربن‌ها

به وسیله‌ی:

فهیمه کریمی

در این تحقیق، تاثیر نانو سریای اضافه شده بر ساختار و فعالیت نانوپروسکایت LaCoO_3 ، تهیه شده به صورت $\text{LaCoCe}_x\text{O}_{(3+δ)}$ که در آن x مقادیر ۰/۰, ۰/۱, ۰/۲, ۰/۳, ۰/۴, ۰/۵ و ۰/۶ است، به عنوان کاتالیزور مبدل برای تبدیل آلاینده‌های خروجی از اگزوژ خودروها به ترکیبات بسیار دی‌اکسیدکربن و آب بررسی شد. این کاتالیزورها به روش سیترات تهیه شدند. به طور خلاصه ابتدا محلولی از مقادیر مولی مناسب از نیترات‌های فلزی و اسید سیتریک، برابر با کل مول‌های یون نیترات، به مدت ۱۲ ساعت در ۸۰°C خشک شد. نمونه پودر و سپس به مدت ۱۲ ساعت دیگر در ۱۵۰°C و سپس در ۲۰۰°C قرار داده شد. محصول بدست آمده ابتدا به مدت ۸ ساعت در دمای ۶۰۰°C و در نهایت به مدت ۵ ساعت در دمای ۷۰۰°C گلسینیه شد. ساختار پروسکایت کاتالیزورها تهیه شده در راکتوری لوله‌ای از جنس کوارتز، قرار داده شده در مرکز کوره‌ای الکتریکی، برای اکسایش مخلوط گازی مدل تهیه شده، شامل $\text{CO} + \text{C}_2\text{H}_6$ در آرگون، مخلوط شده با هوا به نسبت استوکیومتری یا اضافی بررسی شد. بهترین عمل دماهای اکسایش کامل CO و C_2H_6 ، برای کاتالیزور غیراستوکیومتری $\text{LaCoCe}_{0.2}\text{O}_{(3+δ)}$ مشاهده شد. خواص اکساكاهشی نانو کاتالیزورها تهیه شده توسط آنالیز کاهش برنامه ریزی شده‌ی دمایی مطالعه شد. آنالیز TPR نشان داد که افزایش جزئی سریا به کاتالیزور LaCoO_3 کاهش ساختار پروسکایت را تسهیل می‌کند. آنالیز SEM نشان داد که افزایش سریا اندازه‌ی بلورها را کاهش و درنتیجه باعث افزایش سطح مخصوص کاتالیست می‌گردد.

کلمات کلیدی: نانوپروسکایت، اکسایش منواکسید کربن، LaCoO_3 ، اکسایش اتان، نانو سریا، گاز اگزوژ، $\text{LaCoCe}_x\text{O}_{(3+δ)}$

فهرست مطالب

صفحه	عنوان
۱	فصل اول: مقدمه
۵	فصل دوم: مبدل کاتالیزوری
۶	۱-۱- مقدمه
۹	۲-۲- تاریخچه و سیر تکامل مبدل‌های کاتالیستی در سطح جهان
۱۱	۲-۲-۱- مبدل‌های کاتالیستی سه‌منظوره یا TWC (Three-Way Catalyst)
۱۴	۲-۲-۲- مبدل‌های کاتالیستی چهار‌منظوره (Four-Way Catalyst)
۱۴	۳-۲- ساختار مبدل‌های کاتالیزوری
۱۵	۳-۳-۱- پایه‌ی کاتالیزور یا تکیه‌گاه (Substrate)
۱۶	۳-۳-۲- پوشش لایه‌ی میانی (Washcoat)
۱۶	۳-۳-۳- لایه‌ی کاتالیزوری
۱۶	۴-۳-۲- محافظ مونولیت (Mat) و توری فلزی
۱۶	۵-۳-۲- محافظ فلزی (Canning)
۱۶	۴-۴- اضافه شونده‌ها (Additives)
۱۷	۵-۵- مزایا و معایب استفاده از فلزات گرانیتها در مبدل‌های کاتالیزوری
۱۸	۶-۶- دلایل نقص یک مبدل کاتالیزوری
۲۰	فصل سوم- موتورهای درون سوز
۲۱	۱-۳- تاریخچه
۲۲	۲-۳- انواع موتورهای چهار زمانه
۲۲	۳-۳- موتورهای شش زمانه
۲۲	۱-۳-۳- مقدمه
۲۲	۲-۳-۳- مزایای موتور شش زمانه
۲۳	۴-۴- خودروهای ارزکتوری یا کنترل الودگی
۲۴	۵-۵- سیستم‌های کنترل کامپیوتری
۲۵	فصل چهارم- اکسید سریم
۲۶	۱-۴- شیمی اکسایش و کاهش و نقص اکسید سریم
۲۷	۲-۴- برهم‌کنش با گازهای احیا کننده
۲۹	فصل پنجم- فعالیتهای تجربی
۳۰	۱-۵- سیستم آزمایشگاهی بررسی عملکرد کاتالیزوری
۳۲	۱-۱-۵- راکتور
۳۳	۲-۱-۵- سیستم آنالیز محصولات (گاز کروماتوگراف)
۳۴	۲-۵- شبیه‌سازی گاز اگزوز (CO در $0.6\% \text{C}_2\text{H}_6$)

۲۶ ۱-۲-۵ - محاسبه نسبت حجمی هوا به گاز اگرورز
۳۷ ۳-۵ - تهیه کاتالیزور
۳۸ ۴-۵ - روش انجام آزمایش
۳۸ ۵-۵ - مطالعه پراش پرتو ایکس نمونه های پودری
۳۹ ۵-۵ - مطالعه کاهش برنامه ریزی شده دمایی (TPR)
۴۰ ۷-۵ طیف بینی مادون قرمز (FT-IR)
۴۱ ۸-۵ مطالعه ریخت شناسی سطح کاتالیزورها (SEM)
۴۲ فصل ششم - نتایج و بحث
۴۳ ۶-۱ - تعیین مشخصات کاتالیزورها
۴۳ ۶-۱-۱ - نتایج بررسی الگوی پراش پرتو ایکس (XRD)
۴۸ ۶-۱-۱-۶ - محاسبه درصد بلوری شدن
۴۹ ۶-۲-۱-۱ - محاسبه اندازه کریستال نمونه های سنتز شده
۵۱ ۶-۲-۲ - نتایج طیف بینی مادون قرمز (FT-IR)
 ۶-۳-۱ - نتایج بررسی تصاویر روبش میکروسکوپ الکترونی و طیف بینی پخش انرژی کاتالیزورهای تهیه شده
۵۳ ۶-۴-۱ - نتایج کاهش برنامه ریزی شده دمایی
۵۵ ۶-۴-۲ - بررسی فعالیت کاتالیزورها
۵۹ ۶-۴-۳ - بررسی اثر افزایش سریم بر فعالیت کاتالیزور LaCoO_4
۶۳ ۷ - فصل هفتم - نتیجه گیری و پیشنهادات
۶۵ مراجع
۷۱ پیوست
۷۲ شکل ۱ - الگوی XRD کاتالیزور $\text{LaCoCe}_{0.8}\text{O}_{2.0}$ در محدوده $2\theta = 20-40^{\circ}$
۷۳ شکل ۲ - الگوی XRD کاتالیزور $\text{LaCoCe}_{0.8}\text{O}_{2.0}$ در محدوده $2\theta = 20-40^{\circ}$
۷۴ شکل ۳ - الگوی XRD کاتالیزور $\text{LaCoCe}_{0.8}\text{O}_{2.0}$ در محدوده $2\theta = 20-40^{\circ}$
۷۵ شکل ۴ - الگوی XRD کاتالیزور $\text{LaCoCe}_{0.8}\text{O}_{2.0}$ در محدوده $2\theta = 20-40^{\circ}$
۷۶ شکل ۵ - الگوی XRD کاتالیزور $\text{LaCoCe}_{0.8}\text{O}_{2.0}$ در محدوده $2\theta = 20-40^{\circ}$
۷۷ شکل ۶ - الگوی XRD کاتالیزور LaCoO_4 در محدوده $2\theta = 20-40^{\circ}$
۷۸ شکل ۷ - الگوی XRD کاتالیزورهای $\text{LaCoCe}_{0.8}\text{O}_{2.0}$ کلسینه شده در دمای 700°C به مدت ۵ ساعت توسط دستگاه برآکر
۷۹ شکل ۸ - آنالیز SEM نمونه $\text{LaCoCe}_{0.8}\text{O}_{2.0}$
۸۰ شکل ۹ - آنالیز SEM نمونه $\text{LaCoCe}_{0.8}\text{O}_{2.0}$
۸۱ شکل ۱۰ - آنالیز SEM نمونه $\text{LaCoCe}_{0.8}\text{O}_{2.0}$
۸۲ شکل ۱۱ - آنالیز SEM نمونه $\text{LaCoCe}_{0.8}\text{O}_{2.0}$ همراه با پیک های عنصر طلا
۸۳ شکل ۱۲ - آنالیز SEM نمونه $\text{LaCoCe}_{0.8}\text{O}_{2.0}$
۸۴ شکل ۱۳ - آنالیز SEM نمونه $\text{LaCoCe}_{0.8}\text{O}_{2.0}$
۸۵ شکل ۱۴ - آنالیز SEM نمونه LaCoO_4

- ۸۶ شکل ۱۵ - مقایسه عملکرد کاتالیزور LaCoO_x و $\text{CO}_x \text{C}_x\text{H}_x$ در تبدیل CO به C_xH_x
- ۸۷ شکل ۱۶ - مقایسه عملکرد کاتالیزور $\text{LaCoCe}_{x,y}\text{O}_z$ ، در تبدیل CO و C_xH_x به CO_x
- ۸۸ شکل ۱۷ - مقایسه عملکرد کاتالیزور $\text{LaCoCe}_{x,y}\text{O}_z$ ، در تبدیل CO و C_xH_x به CO_x
- ۸۹ شکل ۱۸ - مقایسه عملکرد کاتالیزور $\text{LaCoCe}_{x,y}\text{O}_z$ ، در تبدیل CO و C_xH_x به CO_x
- ۹۰ شکل ۱۹ - مقایسه عملکرد کاتالیزور $\text{LaCoCe}_{x,y}\text{O}_z$ ، در تبدیل CO و C_xH_x به CO_x
- ۹۱ شکل ۲۰ - مقایسه عملکرد کاتالیزور $\text{LaCoCe}_{x,y}\text{O}_z$ ، در تبدیل CO و C_xH_x به CO_x

فهرست جدول‌ها

صفحه	عنوان
۳۴	جدول ۱-۵: زمان اقامت هر یک از اجزای گازی
۳۴	جدول ۲-۵: فشار قسمت‌های مختلف کروماتوگراف گازی
۳۴	جدول ۳-۵: دمای قسمت‌های مختلف کروماتوگراف گازی
۴۵	جدول ۱-۶: مقایسه شدت پیک نمونه‌های تهیه شده در ناحیه $2\theta = 33/2^\circ$
۴۹	جدول ۲-۶: درصد بلوری شدن کاتالیزورهای سنتز شده
۴۹	جدول ۳-۶: اندازه‌ی کریستال کاتالیزورهای $\text{LaCoCe}_x\text{O}_{(2-x)}$ بدست آمده با استفاده از معادله شر
۵۵	جدول ۴-۶: نتایج حاصل از آنالیز عنصری EDS نمونه‌های کلسینه شده دمای 700°C به مدت ۵ ساعت
۵۸	جدول ۵-۶: نواحی ظهور پیک‌های کاهش عناصر فلزی تشکیل دهنده کاتالیزورها
۵۸	جدول ۶-۶: نتایج حاصل از عمل کرد کاتالیزورهای ساخته شده به روش سیترات در تبدیل CO_2 به CO در دماهای ۱۰، ۵۰ و ۹۰ درصد تبدیل
۶۱	جدول ۶-۷: نتایج حاصل از عمل کرد کاتالیزورهای ساخته شده به روش سیترات در تبدیل C_2H_6 به CO_2 در دماهای ۱۰، ۵۰ و ۹۰ درصد تبدیل

فهرست شکل‌ها

صفحه	عنوان
۸	شکل ۲-۱: محل قرارگرفتن مبدل کاتالیزوری در خودروهای بنزینی.
۱۰	شکل ۲-۲: شمایی از مبدل دوپسترہ.
۱۱	شکل ۲-۳: شمایی از مبدل کاتالیزوری سه منظوره.
۱۲	شکل ۲-۴: تأثیر نسبت هوا به سوخت روی درصد تبدیل در مبدل‌های کاتالیزوری.
۱۲	شکل ۲-۵: شمایی از سیستم کنترل آلودگی‌های منتشره از اتومبیل‌ها.
۱۴	شکل ۲-۶: شمایی از اجزای یک مبدل کاتالیزوری.
۱۵	شکل ۲-۷: شمایی از پایه سرامیکی.
۱۵	شکل ۲-۸: شمایی از پایه فلزی.
۲۸	شکل ۴-۱: مکانیزم ذخیره و آزاد سازی اکسیژن در ساختار سریا-زیرکونیا.
۳۱	شکل ۵-۱: شماتیک سیستم آزمایشگاهی.
۳۱	شکل ۵-۲: سیستم آزمایشگاهی طراحی شده، برای انجام آزمایشات بررسی عملکرد کاتالیزور.
۳۱	شکل ۵-۳: شمایی از سیستم راکتور و کوره‌ی مورد استفاده برای تست راکتورها کاتالیزورها.
۳۲	شکل ۵-۴: جریان سنج ستون حباب.
۳۳	شکل ۵-۵: دستگاه پراش پرتو X، دانشگاه علوم پایه دامغان.
۳۹	شکل ۵-۶: سیستم TPR آزمایشگاه کاتالیزور دانشکده‌ی فنی دانشگاه تهران.
۴۰	شکل ۵-۷: دستگاه FT-IR دانشگاه علوم پایه دامغان مستقر در دانشکده‌ی شیمی.
۴۱	شکل ۵-۸: دستگاه لایه‌نشان واقع در دانشکده‌ی فنی دانشگاه تربیت مدرس.
۴۲	شکل ۶-۱: الگوی XRD کاتالیزورهای کلسینه شده در دمای 600°C به مدت ۸ ساعت در محدوده $20-40^{\circ} = 2\theta$.
۴۳	شکل ۶-۲: الگوی XRD کاتالیزورهای کلسینه شده در دمای 700°C به مدت ۵ ساعت.
۴۴	شکل ۶-۳: الگوی XRD کاتالیزورهای کلسینه شده در دمای 700°C به مدت ۵ ساعت.
۴۶	شکل ۶-۴: الگوی طیف IR کاتالیزورهای $\text{LaCoCe}_x\text{O}_{>2}$ ($x=0.00/1.00/2.00/4.00/5$).
۴۶	شکل ۶-۵: تصاویر SEM کاتالیزورهای $\text{LaCoCe}_x\text{O}_6$ تهیه شده کلسینه شده در دمای 700°C به مدت ۵ ساعت.
۴۷	شکل ۶-۶: الگوی TPR کاتالیزورهای $\text{LaCoCe}_x\text{O}_{>2}$ ($x=0.00/1.00/2.00/3.00/4.00/5$).
۴۷	شکل ۶-۷: الگوی طیف IR کاتالیزورهای $\text{LaCoCe}_x\text{O}_{>2}$ کلسینه شده در دمای 700°C به مدت ۵ ساعت.
۵۲	شکل ۶-۸: تصاویر SEM کاتالیزورهای $\text{LaCoCe}_x\text{O}_6$ کلسینه شده در دمای 700°C به مدت ۵ ساعت.
۵۳	شکل ۶-۹: تصاویر SEM کاتالیزورهای $\text{LaCoCe}_x\text{O}_6$ کلسینه شده در دمای 700°C به مدت ۵ ساعت با بزرگنمایی 30000 در مقیاس 500 نانومتر.

شکل ۶-۶ الگوی TPR کاتالیزورهای (a) CeO_2 , (b) Co_2O_4 , (c) $\text{LaCoCe}_{(0.1, 0.3, 0.5, 0.7, 0.9, 1.1)}\text{O}_7$

۵۶ (d) LaCoO_7 , (e) $\text{LaCoCe}_{(0.1, 0.3, 0.5, 0.7, 0.9, 1.1)}\text{O}_7$, (f) $\text{LaCoCe}_{(0.1, 0.3, 0.5, 0.7, 0.9, 1.1)}\text{O}_7$, (g) LaCoO_7 , (h) $\text{LaCoCe}_{(0.1, 0.3, 0.5, 0.7, 0.9, 1.1)}\text{O}_7$

شکل ۶-۷: مقایسه عملکرد کاتالیزورهای O_2 در تبدیل CO به CO_2

۵۹ $\text{LaCoCe}_{(0.1, 0.3, 0.5, 0.7, 0.9, 1.1)}\text{O}_7$, LaCoO_7 , $\text{LaCoCe}_{(0.1, 0.3, 0.5, 0.7, 0.9, 1.1)}\text{O}_7$, $\text{LaCoCe}_{(0.1, 0.3, 0.5, 0.7, 0.9, 1.1)}\text{O}_7$, LaCoO_7

شکل ۶-۸: مقایسه عملکرد کاتالیزورهای O_2 در تبدیل C_2H_6 به CO_2

۶۰ $\text{LaCoCe}_{(0.1, 0.3, 0.5, 0.7, 0.9, 1.1)}\text{O}_7$, LaCoO_7 , $\text{LaCoCe}_{(0.1, 0.3, 0.5, 0.7, 0.9, 1.1)}\text{O}_7$, LaCoO_7

شکل ۶-۹: منحنی دمای ۱۵٪ تبدیل مولی CO به CO_2 بر حسب مقدار سریم در کاتالیزور

۶۱ $\text{LaCoCe}_{(0.1, 0.3, 0.5, 0.7, 0.9, 1.1)}\text{O}_7$, LaCoO_7

فصل اول

۸۰

مقدمہ

۱- مقدمه

امروزه وجود خودرو در سیستم حمل و نقل از ملزمات زندگی انسان‌ها به حساب می‌آید. با عنایت به میزان کارائی آن در کشورهای مختلف استقبال فراوانی از آن شده است. از شاخص‌های توسعه یافته‌گی در کشورها، میزان تولید و مصرف خودرو می‌باشد [۱].

آلودگی هوا از معضلات زندگی امروزی است. آلینده‌های خروجی از اگزوژ اتومبیل‌های بنزینی از منابع اصلی آلودگی هوا در شهرهای بزرگ می‌باشد. منوکسید کربن، NO_x یا NO_2 (که به صورت NO_x^+ نشان داده می‌شود)، دی اکسید سولفور، هیدروکربن‌های نسوخته^۱ ناشی از سوخت نسوخته یا تبخیر شده و ذرات معلق از آلینده‌های شناخته شده در موتورهای احتراق داخلی می‌باشد [۱]. منوکسید کربن، هیدروکربن‌های نسوخته و اکسیدهای ازت از مهم‌ترین آلینده‌های گاز اگزوژ می‌باشند. این آلینده‌ها منجر به مشکلات تنفسی و بیماری‌های قلبی می‌شوند. در این میان منوکسید کربن آلیندگی بیشتری دارد.

میلیون‌ها خودرو در جاده‌ها و خیابان‌های جهان در حال حرکت هستند که هر یک منبع آلودگی تلقی می‌شوند. در شهرهای بزرگ، آلینده‌های ناشی از عملکرد خودروها می‌تواند مشکلات بسیاری را به وجود آورد. در اوایل دهه ۱۹۷۰ افزایش استفاده از اتومبیل در برخی شهرهای بزرگ نگرانی جوامع را در مورد آلودگی ناشی از گاز خروجی خودروها برانگیخت [۲]. برای حل این مشکل، کشورها قوانین زیست محیطی خاصی را تدوین کردند. همچنین قوانینی وضع کردند که مقدار آلودگی هر خودرو را محدود می‌سازد. نخستین اقدامات در جهت کنترل آلودگی‌های ناشی از احتراق نامطلوب اتومبیل‌ها در ایالت کالیفرنیای آمریکا صورت گرفت. استانداردهای اروپا، ایالات متحده و ژاپن از جمله مهم‌ترین آن‌ها می‌باشد [۳].

از آن جایی که بیشترین خودروهای تولیدی جمهوری اسلامی ایران توسط کشورهای اروپایی طراحی شده‌اند، از قوانین اتحادیه اروپا در کشور ما استفاده می‌گردد. سازندگان خودرو به‌منظور رعایت این قوانین، روش‌های متفاوتی برای جلوگیری از تولید و انتشار آلینده‌ها و همچنین سیستم‌های متنوعی برای سوخت‌رسانی خودروها ابداع کرده‌اند. در این میان می‌توان به سیستم‌های پمپ تزریق هوا و شیربرگردان گاز اگزوژ^۲ اشاره کرد [۴]. در سیستم تزریق، هوا به

¹ NOx.

² Unburned HydroCarbons (UHC)

³ Exhaust Gas Recirculation (EGR)

محل خروج گازهای حاصل از احتراق وارد می‌شود که در نتیجه آن گازهای داغ حاوی UHC در مواجهه با اکسیژن هوا می‌سوزد.

سیستم EGR نیز که به منظور کنترل و کاهش انتشار NO_x طراحی شده بود با بازگردان بخشی از گازهای اگزوژن به داخل سیلندر کار می‌کرد. عامل اصلی تولید NO_x بالا بودن دما است (بالاتر از 1370°C). وارد کردن گازهای اگزوژن به داخل سیلندر سبب رقیق‌تر شدن مخلوط سوخت و هوا شده و دمای احتراق را کاهش و در نتیجه سبب کنترل تولید NO_x می‌شود [۵-۹].

این تغییرات موتور اتومبیل‌ها برای رسیدن به استانداردهای آلودگی باعث شد خودروهای تولید شده کار کرد مطلوبی نداشته باشند. هم اکنون سازندگان خودرو، موتور اتومبیل‌ها را بدون توجه به گازهای آلاینده خروجی طراحی و سپس با کمک کاتالیزور، گازهای خروجی را به حد استانداردهای آلودگی کاهش می‌دهند. یک روش مناسب برای کاهش گازهای آلاینده خروجی از خودروها استفاده از مبدل کاتالیزوری^۱ بود که در سال ۱۹۷۵ برای کاهش آلاینده خودروها به کار رفت [۱۰]. مبدل‌های کاتالیزوری با سوخت بدون سرب، عمر مفیدی حدود ۸۰ هزار کیلومتر دارند. پس از پایان عمر مفید نیز تنها ۱۰٪ کاتالیزور مصرفی در آن‌ها از بین می‌رود. روش استفاده از مبدل‌های کاتالیزوری سودمندترین و ساده‌ترین روش کنترل انتشار آلودگی از خروجی اگزوژن‌ها است که تا امروز شناخته شده است [۱۱].

مبدل‌ها تنها وسیله شناخته شده‌ای هستند که پالایش هر سه آلاینده CO , HC و NO_x را به طور همزمان انجام می‌دهند. کاتالیزورهای سه منظوره‌ی^۲ متداول برای اگزوژن اتومبیل‌ها شامل فلزات گران‌بهای پلاتین، پالادیوم و روديوم بر روی پایه‌ی Alumina ^۳ می‌باشند. آلاینده‌های گاز اگزوژن با عبور از روی این کاتالیزورها به مواد بی‌ضرر و یا کم ضرر تبدیل می‌شوند. اساس کار فلزات کاتالیزوری در این مبدل‌ها، اکسیداسیون HC و CO و احیاء NO_x در حین عبور جريان گاز از ما بین دسته لوله‌های ریز مبدل است. از جمله دلایل افت فعالیت این کاتالیزورها، کاهش سطح فعال فلزات گران‌بها در اثر پدیده‌ی هم‌جوشی^۴ در دمای بالا و نوسانات کاهشی - اکسایشی^۵ اتمسفر گاز اگزوژن می‌باشد. به علت قیمت بالا و همچنین محدودیت منابع فلزات گران‌بهای، تلاش برای پیدا کردن ترکیب کاتالیزوری متفاوت در حال انجام است تا استفاده از این فلزات در مبدل‌های کاتالیزوری به حداقل رسد یا حتی جایگزین آن‌ها شود.

Catalytic Converter

Three-Way Catalyst (TWC).

Al_2O_3 .

Sintering.

Redox.

فصل اول / مقدمه

در فصل دوم ابتدا آلاینده‌های خروجی از اگزوز خودروهای بنزینی معرفی و سپس به بررسی کلی مبدل‌های کاتالیستی رایج و ساختار آن‌ها پرداخته و در انتهای مزایا و معایب استفاده از فلزات گران‌بها در مبدل‌های کاتالیزوری بیان خواهد شد.

در فصل سوم به معرفی مختصراً از موتورهای درون سوز، موتورهای چهار زمانه کاربراتوری و انژکتوری و سیستم‌های کنترل کامپیوتراً خواهیم پرداخت.

در فصل چهارم اکسید سریم، ساختار و خواص و کاربرد آن در مبدل‌های کاتالیزوری به عنوان جانشین فلزات گران‌بها بررسی می‌شود.

در فصل پنجم فعالیت‌های تجربی انجام شده در این تحقیق شامل روش ساخت و آماده سازی کاتالیزورها و دستگاه‌های آزمایشگاهی به کار گرفته شده جهت بررسی فعالیت و تعیین مشخصات کاتالیزورها مطرح می‌شوند.

در فصل ششم نتایج به دست آمده در مورد مشخصات کاتالیزورهای ساخته شده، فعالیت و هم‌چنین رفتار آن‌ها در شرایط عمل کرد مبدل‌های کاتالیزوری بیان و به بحث و بررسی در مورد این نتایج می‌پردازیم. و در آخر، در فصل هفتم این نتایج به دست آمده مورد جمع‌بندی قرار گرفته و پیشنهاداتی نیز جهت انجام پژوهش‌های تحقیقاتی مشابه بیان می‌شود.

فصل دوم

مبدل کاتالنیزوری